

九州大学 工学部 正員 上田 年比古

同 正員 笠口 英昭

同 ○学生員 平野 信久

1.序 急速ろ過池の逆流洗浄時膨張砂層表面から排出される汚泥濃度の時間変化は、ろ層の非定常膨張時に高濃度の汚泥が急激に排出され、ろ層が定常状態に達して後、低濃度の緩慢減衰部が続く。前報¹⁾での実験では、実験室内の小断面ろ過塔を用いた単純化されたモデルのもとを行なったが、実際のろ過塔では、流動化したろ層内に生ずる乱流、ろ層表面から排出トラフまでの水域（上部水域）で、乱流拡散、さらにまた、上部水域を上昇する排出汚泥粒のもつ沈降性などにより、トラフから排出される洗浄水の濃度の減衰はかなりゆるやかになっている。本報では、上述の諸点を考慮してトラフからの排出濃度の減衰を論じるために、まずろ層内および上部水域での拡散係数の推定と粒の干渉沈降速度を考慮した場合の上部水域の拡散を考察した。

2.ろ層内と上部水域での拡散係数の算定 図-1のようないわきアクリル製実験塔（30cm×15cm）を使い、塩水をフィルター入口より注入し、ろ層内ではフィルター最上部および膨張ろ層表面真上にブルーパーを固定し、また上部水域では膨張ろ層表面真上と、そこから60cm上にブルーパーを固定し、塩分濃度計により濃度変化を測定した。この結果を図-2,3に示す。いまろ層内、および上部水域では次の拡散方程式が成立するとし、 $x=0$ の境界条件 $\frac{dC}{dx}|_{x=0} = 0$ は実験結果より与えることにした。

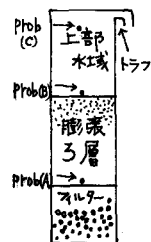


図-1

$$\frac{\partial C}{\partial t} + u \frac{\partial C}{\partial x} = D \frac{\partial^2 C}{\partial x^2} \quad \dots \dots \dots (1)$$

$$\text{初期条件: } C(x, 0) = 0$$

$$\text{境界条件: } C(0, t) = f(t), \quad C(\infty, t) = 0 \quad \dots \dots \dots (2)$$

ここに C : 塩分濃度 U : 空間速度 D : 拡散係数 x : ろ層ではろ層下端、上部水域では膨張ろ層表面を0として上方にとした距離とする。

$$i) ろ層境界条件を $f(t) = C_0(1 - e^{-at})$ \dots \dots \dots (3)$$

で与えると、(1)式の解は

$$C(x, t) = \frac{2C_0}{\sqrt{\pi}} \exp\left(\frac{ux}{2D}\right) \int_0^\infty \exp\left(-\left(\lambda^2 + \frac{a^2}{\lambda^2}\right)\right) d\lambda \\ - \frac{2C_0}{\sqrt{\pi}} \exp\left(\frac{ux}{2D} - at\right) \int_0^\infty \exp\left(-\left(\lambda^2 + \frac{a^2}{\lambda^2}\right) + \frac{ax^2}{4\lambda^2}\right) d\lambda \quad \dots \dots \dots (4)$$

$$\text{ここで } \alpha = \frac{ux}{4D}, \beta = \frac{x}{2Dt}, \lambda = \frac{x}{2D(t-x^2/4D)}$$

なお(4)式で $\alpha < u^2/4D$ の場合は次式となる。

$$C(x, t) = \frac{C_0}{2} \left\{ e^{at} \operatorname{erfc}\left(\beta + \frac{a}{\beta}\right) + \operatorname{erfc}\left(\beta - \frac{a}{\beta}\right) \right. \\ - \frac{C_0}{2} \exp(2at - at) \left(e^{2r} \operatorname{erfc}\left(\beta + \frac{r}{\beta}\right) \right. \\ \left. + \frac{C_0}{2} \exp(2at - at) \left(e^{-2r} \operatorname{erfc}\left(\beta - \frac{r}{\beta}\right) \right) \right\} \dots \dots \dots (5)$$

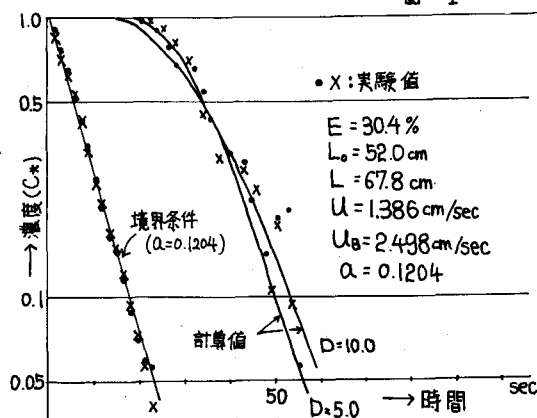


図-2

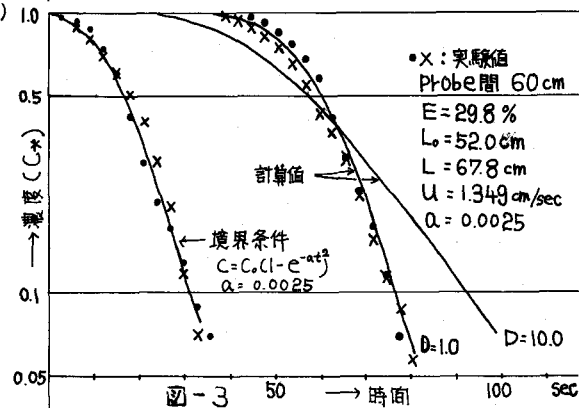


図-3

境界条件(3)式のひを各膨張率の実験結果からうえ、(4)式または(5)式の α を変化させて計算し、膨張ろ層表面位置の濃度曲線の計算値と実測値が一致するようなりを求めた。一例を図-2に示す。こうしてえられた拡散係数は膨張率10%~50%で $D=5.0\sim10.0\text{cm}^2/\text{sec}$ の値をとり、膨張率の増加による変化は認められなかつた。

ii)上部水域境界条件を $f(t)=C_0(1-e^{-at})\cdots(6)$ で与えると(1)式の解は

$$(C(x,t)=\frac{2C_0}{\sqrt{\pi}} \exp\left(\frac{Ux}{2D}\right) \int_0^\infty \exp\left(-\left(x^2 + \frac{a^2}{\lambda^2}\right)\right) d\lambda - \frac{2}{\sqrt{\pi}} \exp\left(\frac{Ux}{2D}\right) \int_0^\infty \exp\left(\left(x - \frac{x^2}{4D}\right)a - \left(x^2 + \frac{a^2}{\lambda^2}\right)\right) d\lambda \cdots(7)$$

ろ層内と同様にして膨張ろ層表面から60cm上のフレーブ位置での濃度曲線について求めた拡散係数は膨張率10%~50%で $D=1.0\text{cm}^2/\text{sec}$ 程度となつた。また小断面($5\text{cm} \times 10\text{cm}$)実験塔による実験結果もほぼ同じ D の値が得られた。

3. 上部水域で粒の沈降性を考慮した拡散について

C を汚泥の体積濃度、 U を空気速度、 W を干渉沈降速度、 D を拡散係数とすれば汚泥の沈降速度を考慮した拡散方程式は

$$\frac{\partial C}{\partial t} + \frac{\partial}{\partial x}[C(U-W)] = \frac{\partial^2}{\partial x^2}(D \frac{\partial C}{\partial x}) \cdots(8) Dを一定とし、また W を濃度 C の関数とすれば $\frac{\partial W}{\partial C} = \frac{\partial W}{\partial C} \cdot \frac{\partial C}{\partial x}$ となるので(8)式は $\frac{\partial C}{\partial t} + [(U-W)-C \frac{\partial W}{\partial C}] \frac{\partial C}{\partial x} = D \frac{\partial^2 C}{\partial x^2} \cdots(9)$ また $W/W_0 = e^{-t} = (1-C)^n$ (W_0 :単粒子沈降速度、 e :空隙率)だから$$

$$\frac{\partial C}{\partial t} + \{U-W_0(1-C)^n + nW_0C(1-C)^{n-1}\} \frac{\partial C}{\partial x} = D \frac{\partial^2 C}{\partial x^2} \cdots(10) \quad いま(1-C)^n, (1-C)^{n-1}をTaylor展開して二次の項までとると(10)より$$

$$\frac{\partial C}{\partial t} + (U-W_0) \frac{\partial C}{\partial x} + nW_0 \frac{\partial C^2}{\partial x^2} - \frac{n}{2} W_0(n-1) \frac{\partial C^3}{\partial x^3} = D \frac{\partial^2 C}{\partial x^2} \cdots(11) \quad いま$$

境界条件として膨張ろ層表面で高濃度の排水がてこりが減衰する場合を考えて $C(0,t)=C_0 e^{-at}$ ($C_0=0.5$) $\cdots(12)$ として $x=X\text{cm}$ の排出濃度曲線を(11)式の数値計算により求めた。この場合フロックの単粒子沈降速度 $W_0=1.0\text{cm/sec}$, $n=3$, $a=0.0192$ を用いた。まことに比較するため W を考慮しない次の拡散方程式

$$\frac{\partial C}{\partial t} + U \frac{\partial C}{\partial x} = D \frac{\partial^2 C}{\partial x^2} \quad \text{初期条件: } C(x,0)=0 \quad \text{境界条件: } C(0,t)=C_0 e^{-at}, C(\infty,t)=0 \cdots(13)$$

についても計算した。図-4に干渉沈降を考慮した場合と考慮しない場合のトラップから流出する濃度の時間変化を示す。 W を考慮した場合トラップからの濃度の出始めはややおくれるが、出始めると急速に高濃度の汚泥が排出され、その後低濃度のゆるやかな減衰が続く。この傾向は上部水域が存在する実際のろ過池の排出濃度の減衰がかなりゆるやかなことをよりよく説明していると考えらる。

4. むすび 本実験においてろ層内の塩分濃度の測定によりえられた拡散係数の値は $5\sim10\text{cm}^2/\text{sec}$ 程度であつた。実際のろ過池での逆洗時にはろ層内に発生する砂流の影響で拡散係数の値がいくぶん増加し、それが逆洗終期の低濃度減衰部において濃度の排出を遅延させることが考えらるるが、この点についてはさらに検討したい。また上部水域での塩分濃度の測定によりえられた拡散係数は $1.0\text{cm}^2/\text{sec}$ 程度であった。なお上部水域においては、膨張砂面からトラップまでは一般に60cm程度の高さがあり、この場合フロックの干渉沈降速度を考慮することごく濃度のゆるやかな減衰のパターンを説明できるようである。

参考文献

- i) 上田、登口、下茂：急速ろ過池の逆洗効果に関する実験的考察、土木学会第31回年次講演会講演概要集(1976.10)

